## SiO<sub>2</sub>/Al<sub>2</sub>O<sub>3</sub>/AlGaN/GaN MIS-HEMT の閾値電圧に与える Al<sub>2</sub>O<sub>3</sub> 膜厚の効果 Effect of Al<sub>2</sub>O<sub>3</sub> thickness on threshold voltage of SiO<sub>2</sub>/Al<sub>2</sub>O<sub>3</sub>/AlGaN/GaN MIS-HEMTs 名工大<sup>1</sup>, アルバック<sup>2</sup> ○久保 俊晴<sup>1</sup>, 座間 秀昭<sup>2</sup>, 小林 忠正<sup>2</sup>, 江川 孝志<sup>1</sup>

Nagoya Inst. of Tech.<sup>1</sup>, ULVAC,Inc.<sup>2</sup>, <sup>o</sup>Toshiharu Kubo<sup>1</sup>, Hideaki Zama<sup>2</sup>, Tadamasa Kobayashi<sup>2</sup>, Takashi Egawa<sup>1</sup>

E-mail: kubo.toshiharu@nitech.ac.jp

## 1. まえがき

GaN 系パワーデバイスの普及のためには、 ゲートリーク電流の抑制およびノーマリオフ 化が大きな課題である。これらの課題を克服す るため、ゲート電極部分に絶縁膜を挟んだ MIS 構造が精力的に研究されている。我々はこれま でに絶縁膜として Al<sub>2</sub>O<sub>3</sub>、HfO<sub>2</sub>、SiO<sub>2</sub> 膜を原子 層堆積(ALD)により成膜し、Si 基板上 AlGaN/GaN MIS-HEMT デバイスの電気特性を 調べ、報告してきた[I]。それらの報告において、 ゲートに正の高バイアス電圧を印加した際の 初期閾値電圧シフト \(\alpha V\_{th}\) が問題となっている。 そこで、本研究では、ALDにより AlGaN 上に 成膜した Al<sub>2</sub>O<sub>3</sub> 膜上にさらにプラズマ化学気 相成長(PECVD)により SiO<sub>2</sub> 膜を成膜し、 SiO<sub>2</sub>/Al<sub>2</sub>O<sub>3</sub> 2 層絶縁膜を用いた MIS-HEMT に ついて、 $\triangle V_{th}$  と  $Al_2O_3$  の膜厚との関係を調べ、  $\triangle V_{th}$  の低減を試みたので、その結果を報告す る。

## 2. 実験方法

SiO<sub>2</sub>/Al<sub>2</sub>O<sub>3</sub>/AlGaN/GaN MIS-HEMT はこれまでの報告と同様にして作製した。絶縁膜の成膜の際に、Al<sub>2</sub>O<sub>3</sub>膜を AlGaN 上に TMA と H<sub>2</sub>O およびO<sub>3</sub>を前駆体として用いた ALD により膜厚を 1nm から 20nm として成膜し、次に SiO<sub>2</sub>膜を PECVD により SiH<sub>4</sub>と N<sub>2</sub>O を用いて Al<sub>2</sub>O<sub>3</sub>上に 20nm 成膜した。作製した MIS-HEMT の *I-V* 特性を暗所にて測定した。

## 3. 結果

作製した MIS-HEMT の伝達特性を Fig. 1(a)(b)に示す。Fig. 1(a)は SiO<sub>2</sub> を成膜していない膜厚が 20nm の  $Al_2O_3$  単層の際の特性である。Fig. 1(a)より $\triangle V_{th}$  はこれまでの報告と同様に正バイアス方向に 5 V 程度存在していることが分かる。それに対し、 $Al_2O_3$  の膜厚が 2nm の 2 層膜の結果である Fig. 1(b)では、閾値のシフトが負バイアス方向に 0.16V に低減されていることが分かる。Fig. 1(a)(b)で立ち上がりの傾

きがやや鈍いのは成膜時の残留不純物の影響が考えられる。 $\triangle V_{th}$ の減少は $SiO_2$ 膜をPECVDにより成膜した際に $\triangle V_{th}$ を生ずる深い電子捕獲準位が消失した結果であると考えられる。次に $Al_2O_3$ 膜の膜厚と $\triangle V_{th}$ の関係をEig.2に示す。縦軸はEig.2に示す。縦軸はEig.2からEig.2からEig.2でいる。Eig.2からEig.2からEig.2からEig.2では表していくにつれ、Eig.20Eig.2

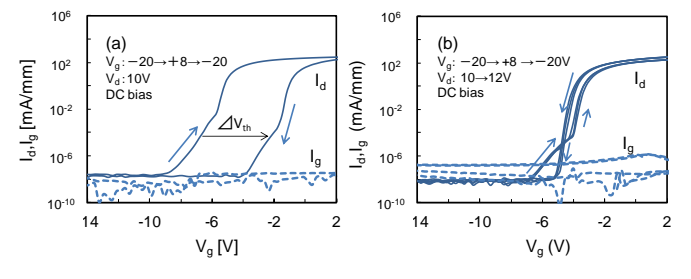


Fig. 1 Transfer curves obtained from MIS-HEMTs.  $Al_2O_3$  and  $SiO_2$  thicknesses are (a) 20 and 0 nm, (b) 2 and 20 nm.

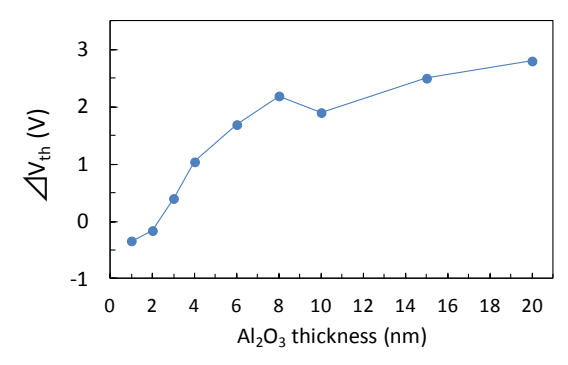


Fig. 2 Dependence of  $\triangle V_{th}$  on Al<sub>2</sub>O<sub>3</sub> layer thickness.

[1] 久保 他: 第77回応用物理学会秋季学術講演会, 14a-P6-16.

参考文献

謝辞

本研究の一部は JST、愛知地域スーパークラスター プログラムの支援を受けて行われた。